

*O.O. Калініченко, Н.Л. Гуревіна, Д.О. Міснянкін, Л.О. Сніжко*

## ОКСИДНІ КАТАЛІЗATORI NA METALEVIXH HOSIЯX DLA VIPALUOVANJA DIZEL'NOЇ SAЖI

ДВНЗ „Український державний хіміко-технологічний університет“, г. Дніпропетровськ

Анодно-іскрове осадження (АО) керамічного носія ( $\text{Al}_2\text{O}_3$ ,  $\text{TiO}_2$ ) на металеві конструкції будь-якої форми з водних розчинів з подальшим просочуванням шару каталітично активними речовинами є простим, швидким комбінованим методом одержання блокових катализаторів. Переваги методу АІО – у можливості формування порівняно пористих покріттів, досягненні високої твердості, теплостійкості і механічної міцності каталітичного шару. На основі вивчення властивостей оксидно-керамічних підшарів, синтезованих на алюмінії і титані з водних розчинів, які містять  $\text{Na}_2\text{SiO}_3$  і  $\text{NaOH}$ , було показано, що за хімічним складом і пористістю ці покріття можуть слугувати інертним підшаром для подальшого нанесення каталітично-активних оксидів ( $\text{Cu}, \text{Mn}, \text{Co}/(\text{Al}_2\text{O}_3\cdot(\text{TiO}_2)\cdot\text{nSiO}_2)$ ). Дослідження процесу випалювання дизельної сажі за допомогою дериватографа виявило зниження температури процесу з 415 до 238°C порівняно з чистою сажею, що є доказом каталітичної активності покріття. Обробка DTA і DTG – залежностей дозволила розрахувати деякі чисельні параметри кінетичних рівнянь і встановити значення енергії активації процесу.

**Ключові слова:** дизельна сажа, анодно-іскрове осадження, каталітична маса, дериватограф, керамічний носій.

### *Вступ*

Забруднення атмосфери токсичними відходами, що утворюються при спалюванні дизельних і мазутних палив, стимулювало за останні десятиріччя велику кількість досліджень, спрямованих на розробку катализаторів окиснення вуглеводнів, СО і сажових часток [1]. Частки сажі мають значну питому поверхню (до 75 м<sup>2</sup>/г), є активними сорбентами і відкладаються в респіраторній системі людини при диханні, що призводить до різних захворювань дихальних шляхів. У 2012 році Світова організація охорони здоров'я внесла дизельну сажу у список речовин, які безпосередньо викликають рак легенів, а у 2015 році сажа, озон і метан були названі речовинами, які не тільки сприяють глобальному потеплінню, але й кожний рік стають причиною більш ніж семи мільйонів випадків передчасної смерті, пов'язаних із забрудненням повітря .

Одним з можливих способів зниження емісії твердих часток є обладнання автомобілів спеціальними фільтрами з нанесеними на їх поверхню катализаторами, які знижують температуру випалювання сажі. Між тим висока вартість систем, які виробляють зараз на основі дорогоцінних металів, є фактором стримування

їх широкомасштабного використання. У зв'язку з цим розробка більш доступних і ефективних катализаторів випалювання дизельної сажі, а також пошук різних шляхів активації систем набувають виключного значення, а розробка доступного і екологічного метода одержання катализатора для випалу дизельної сажі є актуальною і наукомісткою задачею [2].

У каталітичних процесах, пов'язаних з необхідністю оброблення великих об'ємів газів і високих швидкостей потоку, широко використовують катализатори, нанесені на блочні носії. Питома поверхня первинного носія невисока і не може забезпечити необхідну концентрацію каталітично активних центрів для ефективного протікання каталітичних реакцій, тому на його поверхню наносять вторинний носій, як правило  $\gamma\text{-Al}_2\text{O}_3$  з власною питомою поверхнею 150–300 м<sup>2</sup>/г. В низці випадків необхідне формування буферного підшару для забезпечення доброї адгезії вторинного носія і плавний перехід властивостей у випадку, коли теплофізичні параметри покріття і основи відрізняються.

Для того, щоб сформувати катализатор, активні компоненти наносять на керамічні матеріали і металеві поверхні різними способами. Металева основа для каталітичного блоку більш

придатна, ніж керамічна, оскільки здатна забезпечити високий опір тепловим ударам і механічним навантаженням, та відкрити нові можливості для створення складної багатоканальної форми конструкцій сажових фільтрів [3]. Для зчленення каталізатора з металом застосовують, як правило, напилений оксидний прошарок ( $\text{Al}_2\text{O}_3$ ,  $\text{SiO}_2$ ), але ця технологія не дуже придатна для утворення міцного і рівномірного покриття на виробах складної та багатоканальної форми, якими являються сажові фільтри. Такий оксидний «підшар» на вентильному металі може бути сформований методом анодно-іскрового оксидування (AO) [4]. У якості каталітично-активних сполук успішно використовують оксиди ряду перехідних металів – Mn, Ce, Mo, Ti, Zr [5]. Порівняно новим аспектом цієї проблеми є вивчення комбінованих каталітических систем, створених на металевій основі методом анодно-іскрового оксидування з нанесеною каталітичною масою.

Мета даної роботи полягала в

- апробації комбінованої технології одержання на алюмінії і титані пористого інертного підшару методом АІО з подальшим нанесенням на нього каталітично-активних компонентів;
- вивчення кінетики дії одержаної каталітичної маси на прикладі процесу випалювання дизельної сажі.

#### Методика дослідження

Металевими носіями слугували сплави алюмінію ( $\text{Cu} 3,8\text{--}4,9$ ,  $\text{Mg} 1,2\text{--}1,8$ ,  $\text{Mn} 0,3\text{--}0,9$ ,  $\text{Fe} - 0,5$ ,  $\text{Si} - 0,3$ ,  $\text{Zn} - 0,1$ ,  $\text{Ti} - 0,1$ ,  $\text{Al}$  – залишок) і титану ( $\text{N}_2 - 0,1$ ,  $\text{C} - 0,015$ ,  $\text{H}_2 - 0,015$ ,  $\text{Fe} - 0,5$ ,  $\text{O}_2 - 0,5$ ,  $\text{Ti}$  – залишок). Покриття формували при постійній густині струму 400–1000  $\text{A}/\text{м}^2$  під дією іскрових розрядів. В якості електроліту використовували водні розчини рідкого скла  $\text{Na}_2\text{O}\cdot3\text{SiO}_2$  різних концентрацій. Температуру електроліту підтримували в межах 30 $^\circ\text{C}$  за допомогою водяного холодильника. Тривалість процесу складала 10 хв. Товщину покріттів визначали за ГОСТ 9.302 за допомогою вихрострумового товщиноміра FMP 10 (середнє з 5 замірів).

Відкриту пористість вимірювали за допомогою оптичного USB мікроскопа Supereyes B008 при 500-кратному збільшенні. Розподіл пор по поверхні розраховували за допомогою програми ImageJ з подальшим обробленням даних функцією Excel для визначення нормального розподілення. Зображення обробляли програмами PhotoScape та Adobe Photoshop CS5. Відносну пористість  $P$  (%) обчислювали за формулою  $P = S_p \cdot 100 / S_t$ , де  $S_p$  – сумарна площа пор,  $S_t$  – поверхня зразка.

Рентгенофазовий аналіз покріттів виконували на монокристалевому рентгенівському дифрактометрі ДРОН-2 ( $\text{Cu}-\text{K}_{\alpha}$  випромінювання) з

діапазоном кутів 2 $\theta$  5–75 $^\circ$ . Аналіз спектрів був виконаний з використанням бази даних CrystaIIography Open Database.

Оксидно-керамічний шар просочували розчинами солей каталітично активних металів –  $\text{Cu}(\text{II})$ ,  $\text{Ni}(\text{II})$ ,  $\text{Mn}(\text{II})$ ,  $\text{Co}(\text{II})$ . Використовували реактиви марки «ч.д.а.». Зразки з нанесеним АІО шаром послідовно просочували по 30 хв у 5 мл водних розчинів солей концентрацією 2 моль/л –  $\text{Cu}(\text{NO}_3)_2 \cdot 3\text{H}_2\text{O}$ ,  $\text{Ni}(\text{NO}_3)_2 \cdot 6\text{H}_2\text{O}$ ,  $\text{Mn}(\text{NO}_3)_2 \cdot 6\text{H}_2\text{O}$ ,  $\text{Co}(\text{NO}_3)_2 \cdot 6\text{H}_2\text{O}$ . Потім зразки сушили в сушильній шафі при 130 $^\circ\text{C}$  (5 хв) і прожарювали в муфельній печі при 550 $^\circ\text{C}$  3 год згідно з методикою, викладеною в роботі [6]. Зразки з просоченим оксидним шаром і чисті металеві зразки, які використовували для порівняння, покривали сажею в полум'ї пальника, в якому спалювали дизельне паливо (ГОСТ 305-82) протягом 5 хв. Після нанесення шар покриття разом з сажею знімали з металевої основи і здійснювали дослідження каталітичної активності. Паралельно обробляли зразок чистої сажі.

Для дослідження кінетики реакції горіння сажі використовували метод диференційно-скануючої калориметрії (DTA) та термогравіметрії (TG) [7] за допомогою дериватографа «Paulic-Paulic-Erdey Q-1000». Швидкість нагрівання складала 5 град/хв в інтервалі температур 20–700 $^\circ\text{C}$ .

#### Результати та обговорення

##### Механізм формування АІО покріттів

Кристалічні фази АІО були ідентифіковані як  $\alpha$ -,  $\gamma$ - $\text{Al}_2\text{O}_3$  і  $\text{Al}_6\text{Si}_2\text{O}_{13}$  (муліт). Зовнішній вигляд покріттів показаний на рис. 1.

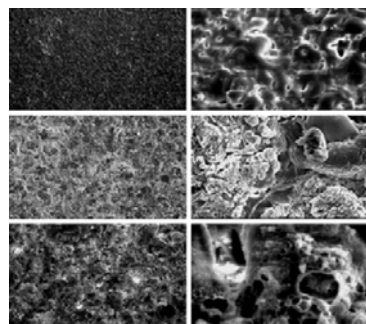


Рис. 1. Зовнішній вигляд АІО покріттів, одержаних з лужних розчинів силікату натрію

На рис. 2 показана рентгенограма АІО покріттів, одержаних на алюмінії з водних лужних розчинів силікату натрію протягом 60 хв електролізу.

Хімічний склад покріттів являє собою суміш оксидів і муліту у співвідношенні (мас.%):  $\gamma$ - $\text{Al}_2\text{O}_3 \sim 0,85$ ,  $\text{Al}_6\text{Si}_2\text{O}_{13} \sim 0,1$ ,  $\text{SiO}_2 \sim 0,05$ .

Механізм формування покріттів передбачає, що при анодно-іскровому оксидуванні алю-

мінію в лужних середовищах можлива реакція виносу мікрочастинок алюмінію та їх реакція з водою [8]:

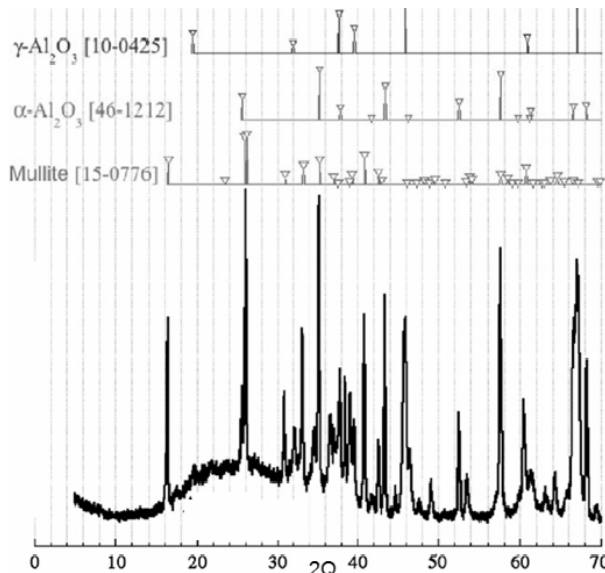


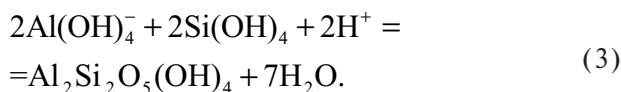
Рис. 2. Рентгенограми алюмосилікатних покривів на алюмінії

Одночасно з боку електроліту на поверхні анода осідає гідратована форма кремнезему [9]:



з наступним утворенням аморфної фази кремнезему або муліту.

Розчинні форми кремнезему і алюмінат-іони можуть утворювати в приелектродному просторі колоїдні частинки галлоїзу [10]:



Формування збагаченого кремнеземом алюмосилікату помітно знижує його розчинність і стимулює осадження аморфного  $\text{SiO}_2$ , що, можливо, є основною причиною анодної пасивації алюмінію в лужних силікатних розчинах. Основними високотемпературними формами алюмосилікатів є муліт, силіманіт, андалузит і кіаніт.

Залежність вмісту муліту від концентрації розчинного скла наведена на рис. 3.

Зростання концентрації силікату в електроліті підвищує вміст муліту в АІП і ступінь перетворення оксиду алюмінію в муліт (7–70%), а екстремальний характер розрахункової залеж-

ності якісно підтверджується експериментальними даними. Шляхом обробки незалежних експериментальних даних показано, що частка муліту в покриві досягає максимуму (до 40%) при концентрації силікату в розчині 0.015 М [11].

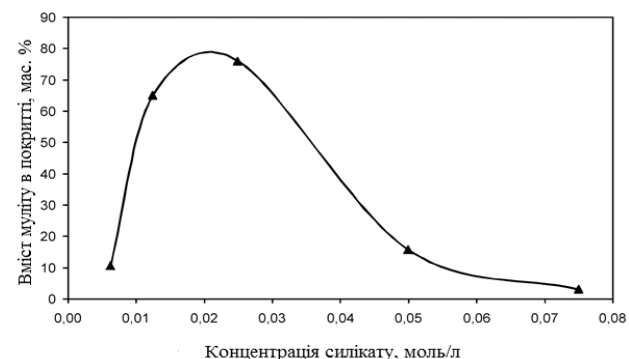


Рис. 3. Вміст муліту в АІП підшарі при різних концентраціях силікату

#### Склад каталітично-активного шару

На першому етапі роботи каталітичні характеристики були проаналізовані в умовах вільного контакту сажі та катализатору.

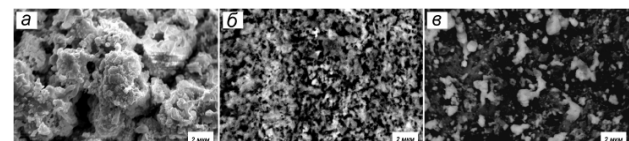


Рис. 4. Рельєфне зображення каталітичного покриву на титані: підшар АІО (а), активний шар (б), шар сажі (в)

Покриви, одержані в силікатному електроліті, характеризуються високою пористістю оксидного шару, розвиненою поверхнею та підвищеним поглинанням води. Ця структура дозволяє розчинам солей каталітично активних металів краще проникати в покрив і залишатись там. На рис. 5 показано морфологію поверхні зразків з покривами, які мають грубу пористу структуру. Зображення отримані за допомогою електронного мікроскопа. Середній розмір пор коливається в діапазоні від декількох  $\text{nm}^2$  до 1,5  $\text{мкм}^2$ , а пористість складає близько 25% (табл. 1). Для титану характерні густо-роздашовані мілкі пори, а для алюмінію, навпаки – рідкі пори більшого розміру.

Товщина оксидного шару, який рівномірно покриває поверхню титану, складає 10–12  $\text{мкм}$ . Розмір оксидних кристалітів досягає 3–7  $\text{мкм}$ , діаметр пор – 4–8  $\text{мкм}$ .

На рис. 6 показані результати рентгено-структурного аналізу покривів, одержаних на алюмінії і титані після просочення і прожарювання. Видно, що прийнята методика формування каталітично-активного шару сприяє осадженню трьох солей з подальшим їх розкладан-

Таблиця 1

Пористість покріттів на зразках алюмінію та титану

Зразок	Кількість пор	Пористість, %	Середній розмір пори, мкм	Середня площа пори, мкм <sup>2</sup>
Al	103	25,08	0,752	29,286
Ti	117	24,5	0,686	27,637

ням до каталітично-активних оксидів  $\text{Co}_3\text{O}_4$ ,  $\text{CuO}$  і  $\text{Mn}_3\text{O}_4$ .

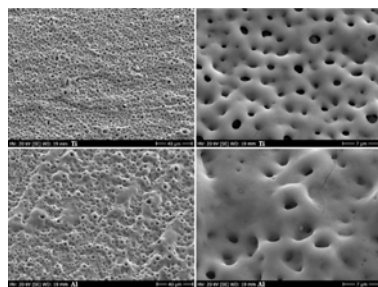


Рис. 5. Морфологія поверхні покріттів на алюмінії та титані

*Кінетика процесу випалювання дизельної сажі*  
Дериватограми окиснення сажі на шарі катализатору наведені на рис. 7.

Видно, що температура згоряння чистої сажі і сажі на алюмосилікатному носії перевищує  $400^{\circ}\text{C}$ , а на каталітичному шарі, просоченому солями, –  $238^{\circ}\text{C}$ . Таким чином можна стверджувати, що чисті алюмосилікати не володіють каталітичною активністю, тобто не викликають протікання побічних реакцій. В той же час катализатор, просочений солями, знижує температуру згоряння сажі майже на  $170^{\circ}\text{C}$ .

Визначення кінетичних параметрів каталітичного окиснення сажі було здійснено шляхом аналізу дериватограм за методикою, наведеною у роботах [12,13].

Загальний вираз для швидкості гетероген-

ної реакції окислення в твердій фазі при постійній концентрації кисню в повітрі надано у вигляді:

$$\frac{dm}{dt} = -k_0 e^{-\frac{E_A}{RT}} m^n, \quad (4)$$

де  $m$  – поточна маса речовини;  $t$  – час;  $E_A$  – енергія активації;  $R$  – газова стала ( $8,314 \text{ Дж/моль}\cdot\text{К}$ );  $T$  – температура реакції (К),  $k_0$  – передекспоненціальний фактор в рівнянні Арреніуса;  $n$  – порядок реакції ( $n=0,675$  [14]).

Приклад обробки дериватограм наведений на рис. 8.

Шляхом нескладних перетворень було отримане рівняння для визначення співвідношення:

$$\frac{E_A}{n} = -\frac{RT_{\max}^2}{m_{\inf}} \left( \frac{dm}{dT} \right)_{\inf}. \quad (5)$$

Спочатку на кривій DTA визначали  $T_m$  (температуру в точці максимуму), яка збігається з температурою в точці перегину ( $T_{\inf}$ ) на кривій DTG. Далі знаходили масу в точці перегину ( $m_{\inf}$ ). Шляхом лінійної апроксимації кривої термографіметрії поблизу точки перегину (пряма лінія чорного кольору) знаходили значення  $\left( \frac{dm}{dT} \right)_{\inf}$  за тангенсом кута нахилу прямої.

Розрахунок кінетичних параметрів згоряння сажі виконували за допомогою програми

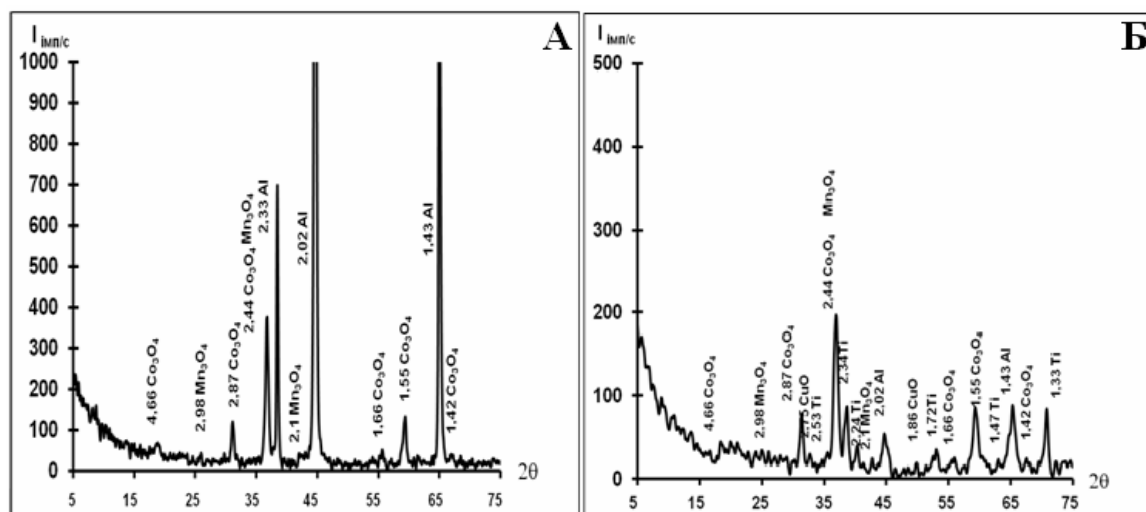


Рис. 6. Рентгенограми АІО покріття, просоченого солями купруму, кобальту і марганцю, після прожарювання на алюмінії (А) і титані (Б)

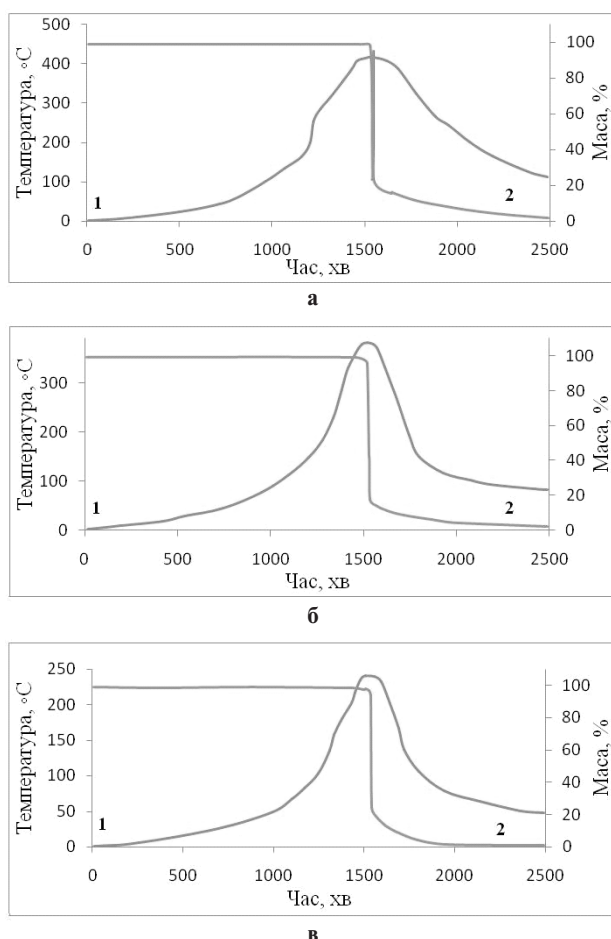


Рис. 7. Дериватограми розкладання чистої сажі (а), сажі з АІО покріттям (б) і сажі з АІО покріттям, просоченим солями купруму, кобальту і марганцю (в), 1 – залежність температури від часу, 2 – залежність маси від часу

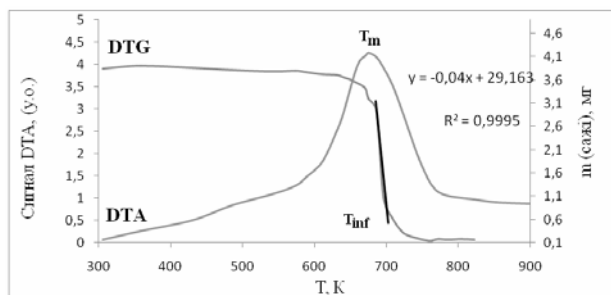


Рис. 8. Приклад оброблення дериваторами

Mathcad15. Кінетичні параметри реакції горіння сажі в присутності чистого і просоченого шару алюмосилікатів наведені в табл. 2.

За літературними даними [15] істинна енергія активації горіння сажі становить 155 кДж/моль, а швидкість горіння прямо пропорційна концентрації кисню в газі. Якщо значення дифузії суттєве, швидкість реакції слабко залежить від температури і енергія активації складає 4,2–8,4 кДж/моль, що відповідає дифузії через пори катализатора, вільні від вуглецю. В роботі [6] було показано, що енергія активації

реакції горіння сажі на купрум-молібдатному катализаторі лежить в інтервалі між 102 та 210 кДж/моль. Наші розрахунки дали дещо нижчі значення, що може залежати від розмірів частинок катализатора і сажі. В будь-якому випадку ці дані вимагають систематичних досліджень із варіюванням також масового співвідношення «катализитична маса: сажа».

Таблиця 2

**Кінетичні параметри реакції горіння сажі в присутності чистого і просоченого шару алюмосилікатів**

Кінетичний параметр	Склад зразка		
	Чиста сажа	АІО шар із сажею	Просочений АІО шар із сажею
T <sub>max</sub> , К (експ.)	415	415	238
E <sub>A</sub> (n=2/3), кДж/моль	69	68	56
ln(k <sub>0</sub> )	3,7	3,2	5,0

**Висновки**

1. Вивчені закономірності одержання оксидно-керамічних підшарів на алюмінії і титані у водному розчині, що містить Na<sub>2</sub>SiO<sub>3</sub> і NaOH. Показано, що за хімічним складом і пористістю ці покриття можуть слугувати інертним підшаром для подальшого нанесення катализитично-активних оксидів;

2. Катализично активні шари (Cu, Mn, Co)/Al<sub>2</sub>O<sub>3</sub>(TiO<sub>2</sub>)·nSiO<sub>2</sub> пришвидшують згоряння дизельної сажі при температурі біля 238°C, у той час, як чиста сажа випалюється при температурі, близькій до 415°C.

**СПИСОК ЛІТЕРАТУРИ**

1. Stratakis G.A., Stamatelos A.M. Thermogravimetric analysis of soot emitted by a modern diesel engine run on catalyst-doped fuel // Combustion and Flame. – 2003. – Vol.132. – P.157-169.

2. Порошковые материалы и изделия на их основе для защиты здоровья человека и охраны окружающей среды: получение, свойства, применение / М.В. Тумилович, Л.П. Пилиневич, В.В. Савич, О., Сморыго, А.Е. Галкин. « Минск: Беларус. наука, 2010. – 365 с.

3. Гордиенко П.С., Руднев В.С. Электрохимическое формирование покрытий на алюминии и его сплавах при потенциалах искрения. – Владивосток: Дальнаука, 1999. – 233 с.

4. Чигрин П.Г. Кинетика и механизм каталитического окисления углерода в присутствии медно-молибдатных систем: Автореф. дис...канд. хим. наук // РАН ДВО; Институт химии. Владивосток. – 2012. – 21 с.

5. Bueno-Lopez A. Diesel soot combustion ceria catalysts // Applied Catalysis B: Environmental. – 2014. – Vol.146. – P.1-11.

6. Лебухова Н.В., Руднев В.С., Чигрин П.Г. Композиции  $\text{Li}_2\text{Cu}_2(\text{MoO}_4)_3/\text{TiO}_2+\text{SiO}_2/\text{Ti}$  для каталитического дожига дизельной сажи // Катализ в промышленности. Институт химии ДВО РАН, Владивосток. – 2011. – С.52.
7. Рипан Р., Четяну И. Неорганическая химия: В 2 т. – М.: Мир. – 1972. – Т.2. – 871 с.
8. Snizhko L.O. The nature of anodic gas at plasma electrolytic oxidation // Protection of Metals and Physical Chemistry of Surfaces. – 2014. – Vol.50. – № 6. – P.705-708.
9. Iler R.K. The chemistry of silica: solubility, polymerization, colloid and surface properties and biochemistry. – Willy: Interscience, 1979. – 896 p.
10. Microstructure characteristic of ceramic coatings fabricated on magnesium alloys by micro-arc oxidation in alkaline silicate solutions / Guo H.F., An M.Z., Huo H.B., Xu S. // Applied Surface Sci. – 2006. – Vol.252. – P.7911-7916.
11. Формирование химических соединений при плазменном электролитическом оксидировании алюминия в силикатных электролитах / Снежко Л. А., Гуревина Н.Л., Миснянкин Д.А., Ерохин А.Л. // Вопр. химии и хим. технологии. – 2009. – № 1. – С.120-126.
12. Stanmore B.R., Brilhac J.F., Gilot P. The oxidation of soot: a review of experiments, mechanisms and models // Carbon. – 2001. – Vol.39. – P.2247-2268.
13. Luo K.-M. Calculation of kinetic parameters from DTA curves using the characteristic temperature // Thermochimica Acta. – 1995. – Vol.255. – P.241-254.
14. Бокова М.Н. Горение сажи в присутствии Cu–Ce–Al–O катализаторов: роль озона как активирующего агента. – Институт органической химии Н.Д. Зелинского РАН. М.: – 2004.
15. Привалов В.Е. Каменноугольный пек. – М.: Металлургия. – 1981. – С.208.

Надійшла до редакції 3.02.2016

#### **OXIDE CATALYSTS ON THE METAL CARRIERS FOR COMBUSTION OF DIESEL SOOT**

**O.A. Kalinichenko, N.L. Gurevina, D.A. Misnyankin, L.A. Snizhko**

**Ukrainian State University of Chemical Technology, Dnepropetrovsk, Ukraine**

Anodic spark deposition (ASD) of oxide-ceramic layers ( $\text{Al}_2\text{O}_3$ ,  $\text{TiO}_2$ ) from aqueous solutions on complex shaped metal substrates followed by impregnation of obtained coatings with catalytically active substances is a simple and rapid method for block catalysts formation. The main advantage of the ASD technology is the possibility to obtain relatively porous coatings with a high heat resistance and mechanical strength. Based on the study of the properties of oxide-ceramic coatings formed on aluminium and titanium from aqueous solutions containing  $\text{Na}_2\text{SiO}_3$  and  $\text{NaOH}$ , it was shown that the chemical composition and porosity of these layers allowed them to serve as inert carriers for further impregnation with catalytically active substances (Cu, Mn, Co)/( $\text{Al}_2\text{O}_3/\text{TiO}_2$ )- $n\text{SiO}_2$ . Study of diesel soot combustion by derivatography method revealed a decrease in temperature of the process from 415°C (for clean diesel soot) to 238°C (in presence of catalytic mas). This result indicates the catalytic activity of obtained coatings. Mathematical treatment of DTA and DTG-dependencies allowed calculating some numerical parameters of correspondent kinetic equation.

**Keywords:** diesel soot; anodic spark deposition; catalytic mas; derivatography; ceramic carrier.

#### **REFERENCES**

1. Stratakis G.A., Stamatelos A.M. Thermogravimetric analysis of soot emitted by a modern diesel engine run on catalyst-doped fuel. *Combustion and Flame*, 2003, vol. 132, pp. 157-169.
2. Tumilovich M.V., Pilinevich L.P., Savich V.V., Smorygo O.O., Galkin A.E., *Poristye poroshkovye materialy i izdeliya na ikh osnove dl'ya zashchity zdorov'ja cheloveka i okhrany okruzhayushchey sredy: poluchenie, svoistva, primenenie* [Porous powder materials and products on their basis for protection of human health and environment: production, properties, and applications]. Belarus Navuka, Minsk, 2010. 365 p. (in Russian).
3. Gordienko P.S., Rudnev V.S., *Elektrokhimicheskoe formirovanie pokrytiy na aliuminiu i ego splavakh pri potentsialakh iskreniya* [Electrochemical formation of coatings on aluminum and its alloys at the sparking potentials]. Dal'nauka, Vladivostok, 1999. 233 p. (in Russian).
4. Chigrin P.G., *Kinetika i mehanizm kataliticheskogo oksideniya ugleroda v prisutstvi medno-molibdenovykh sistem* [Kinetics and mechanism of the catalytic oxidation of carbon in the presence of copper-molybdenum systems]: thesis for the degree of Candidate of Chemical Sciences, Institut Khimii RAN DVO, Vladivostok, 2012. (in Russian).
5. Bueno-Lopez A. Diesel soot combustion ceria catalysts. *Applied Catalysis, B: Environmental*, 2014, vol. 146, pp.1-11.
6. Lebuhova N.V., Rudnev V.S., Chigrin P.G. Kompozitsii  $\text{Li}_2\text{Cu}_2(\text{MoO}_4)_3/\text{TiO}_2+\text{SiO}_2/\text{Ti}$  dl'ya kataliticheskogo dozhiga dizel'noi sazhi [Compositions of  $\text{Li}_2\text{Cu}_2(\text{MoO}_4)_3/\text{SiO}_2+\text{TiO}_2/\text{Ti}$  for the catalytic afterburning of diesel soot]. *Kataliz v Promishlennosti*, 2011, pp. 52. (in Russian).
7. Ripan R., Chetyanu I., *Neorganicheskaya khimiya* [Inorganic chemistry]. Mir, Moscow, 1972, vol. 2, 871 p. (in Russian).
8. Snizhko L.O. The nature of anodic gas at plasma electrolytic oxidation. *Protection of Metals and Physical Chemistry of Surfaces*, 2014, vol. 50, no. 6, pp. 705-708.
9. Iler R.K., *The chemistry of silica: solubility, polymerization, colloid and surface properties and biochemistry*. Willy Interscience, 1979. 896 p.
10. Guo H.F., An M.Z., Huo H.B., Xu S. Microstructure characteristic of ceramic coatings fabricated on magnesium alloys by micro-arc oxidation in alkaline silicate solutions. *Applied Surface Science*, 2006, vol. 252, pp. 7911-7916.
11. Snejhko L. A., Gurevina N.L., Misniankin D.A., Erokhin A.L. Formirovaniye khimicheskikh soedinenii pri plazmennom elektroliticheskom oksidirovaniyu aliuminiya v silikatnykh elektrolitakh [Formation of chemical compounds by plasma electrolytic oxidation in aluminum silicate electrolytes]. *Voprosy khimii i khimicheskoi tekhnologii*, 2009, vol. 1, pp. 120-126. (in Russian).
12. Stanmore B.R., Brilhac J.F., Gilot P. The oxidation of soot: a review of experiments, mechanisms and models. *Carbon*, 2001, vol. 39, pp. 2247-2268.
13. Luo K.-M. Calculation of kinetic parameters from DTA curves using the characteristic temperature. *Thermochimica Acta*, 1995, vol. 255, pp. 241-254.
14. Bokova M.N., *Gorenje sazhi v prisutstvi Cu–Ce–Al–O katalizatorov: rol' ozona kak aktiviruyushchego agenta* [Soot combustion in the presence of Cu–Ce–Al–O catalysts: the role of ozone as an activating agent]. N.D. Zelinskii Institut Organicheskoi Khimii RAN Publishers, Moscow, 2004. (in Russian).
15. Privalov V.E., *Kamennougol'nyi pek* [Coal tar pitch]. Metallurgiya, Moscow, 1981. 208 p. (in Russian).